

DAFTAR PUSTAKA

- Alex, Y. (2020). Quantitative Analysis of Fatty Acids on Biodiesel Fuel Derived from Virgin Coconut Oil. *International Research Journal of Engineering and Technology (IRJET)*, 7(5), 7031–7037.
- Amran, N. A., Nur, S., Mohd, A., Low, K., & Samsuri, S. (2020). Optimization of Fractional Freezing Process for Bioethanol Purification. *Materials Science and Engineering*, 736, 1–13.
- AOCS. (1993a). *American Oil Chemists Society Official Method (Ca)*.
- AOCS. (1993b). *American Oil Chemists Society Official Method (Cd)*.
- Badan Standarisasi Nasional. (2008). *Standar Nasional Indonesia (SNI) 7381:2008 Virgin Coconut Oil*.
- Bulut, M., Bayer, Ö., Kirtil, E., & Bayindirli, A. (2018). Effect of Freezing Rate and Storage on The Texture and Quality Parameters of Strawberry and Green Bean Frozen in Home Type Freezer. *International Journal of Refrigeration*, 88(April), 360–369.
- Candra, A., Zaidar, E., & Rezeki, T. (2021). Potential of Crude Protease from Mengkudu (*Morinda citrifolia*) Fruit on Extraction of Virgin Coconut Oil. *AIP Conference Proceedings*, 1–5.
- De Carvalho, C. C. C. R., & Caramujo, M. J. (2018). The Various Roles of Fatty Acids. *Molecules*, 23(10).
- Dewi, M. T. I., & Hidajati, N. (2012). Peningkatan Mutu Minyak Goreng Curah Menggunakan Adsorben Bentonit Teraktivasi. *Chemistry*, 1(2), 47–53.
- Fathur, A., Hendrawan, Y., Dewi, S. R., & Sutan, S. M. (2018). Optimasi Nilai Rendemen dalam Pembuatan Virgin Coconut Oil (VCO) menggunakan Pemanasan Suhu Rendah dan Kecepatan Sentrifugasi dengan Response Surface Methodology (RSM). *Jurnal Keteknikan Pertanian Tropis Dan Biosistem*, 6(3), 218–228.
- Fitriani, D., Widiyati, E., & Triawan, D. A. (2021). Aplikasi Penggunaan Ekstrak Nanas dan Ragi Roti Sebagai Biokatalisator Pembuatan VCO (Virgin Coconut Oil) serta Pemurniannya dengan Menggunakan Zeolit Alam Bengkulu dan Abu Sekam Padi. *Jurnal Pendidikan Kimia Dan Ilmu Kimia*, 4(1), 8–19.
- Hasibuan, H. A., & Siahaan, D. (2013). Penentuan Bilangan Iod dan Titik Leleh Berdasarkan Kandungan Lemak Padat Minyak Sawit dan Minyak Inti Sawit. *Jurnal Standardisasi*, 15(1), 47–57.
- Huang, L., Gao, L., & Chen, C. (2021). Role of Medium-Chain Fatty Acids in Healthy Metabolism: A Clinical Perspective. *Trends in Endocrinology and Metabolism*, 32(6), 351–366.
- Ibrahim, H. A. (2019). *Introductory Chapter : Fractionation* (Issue January).
- ISO 662-1089. (1998). *Annual and Vegetable Fats and Oil – Determination of Moisture and Volatile Matter Content* (Second Edi).
- Isyanti, M., & D. Sirait, S. (2021). Fraksinasi Asam Laurat, Short Chain Triglyceride (SCT) dan Medium Chain Triglyceride (MCT) dari Minyak Kelapa Murni. *Warta Industri Hasil Pertanian*, 38(2), 160.
- Ivanova, M., Hangani, A., Dumitriu, R., Tociu, M., Ivanov, G., Stavarache, C., Popescu, L., Ghendov-Mosanu, A., Sturza, R., Deleanu, C., & Chira, N. A. (2022). Saponification Value of Fats and Oils as Determined from ¹H-NMR Data: The Case of Dairy Fats. *Foods*, 11(10).

- Jasman, Lawe, E. A., & Sudirman. (2021). Evaluation of Yield and Quality of Virgin Coconut Oil Produced using Repeated Batch Fermentation with Baker's Yeast. *Agriculture and Natural Resources*, 55(1), 51–56.
- Khairati, M. (2023). Virgin Coconut Oil: A Review. *International Journal of Research and Review*, 10(6), 70–75.
- Kimbonguila, A., Matos, L., Petit, J., Scher, J., & Nzikou, J.-M. (2019). Effect of Physical Treatment on the Physicochemical, Rheological and Functional Properties of Yam Meal of the Cultivar "Ngumvu" From Dioscorea Alata L. of Congo. *International Journal of Recent Scientific Research*, 10(D), 30693–30695.
- Kruatian, T., & Jitmanee, K. (2020). Greener Analytical Method for Determination of Iodine Number of Edible Oils. *Journal of Food Research*, 9(6), 36.
- Kusuma, M. A., & Putri, N. A. (2020). Review: Asam Lemak Virgin Coconut Oil (VCO) dan Manfaatnya untuk Kesehatan. *Jurnal Agrinika : Jurnal Agroteknologi Dan Agribisnis*, 4(1), 93.
- Lipemia, P., Tan, C., Karupaiah, T., Tan, C. H., Chinna, K., & Sundram, K. (2011). The Chain Length of Dietary Saturated Fatty Acids Affects Human The Chain Length of Dietary Saturated Fatty Acids Affects Human Postprandial Lipemia. *American College of Nutrition*, 30(6), 511–521.
- Lund, J., & Rustan, A. C. (2020). Fatty Acids : Structures and Properties. *Encyclopedia of Life Sciences*, 2020(2).
- Maurikaa, C., Jaganivash, B., & Shanmugasundaram, S. (2020). Comparative Studies on Physicochemical Properties of Virgin Coconut Oil (VCO) with Different Coconut Oils. *International Journal of Chemical Studies*, 8(6), 2433–2438.
- Mela, E., & Bintang, D. S. (2021). Virgin coconut oil (VCO): pembuatan, keunggulan, pemasaran dan potensi pemanfaatan pada berbagai produk pangan. *Jurnal Penelitian Dan Pengembangan Pertanian*, 40(2), 103–110.
- Mensink, R. P. (2016). *Effects of Saturated Fatty Acid on Serum Lipids and Lipoproteins : a Systematic Review and Regression Analysis*. World Health Organization.
- Mursalin, Hariyadi, P., Purnomo, E. H., Andarwulan, N., & Fardiaz, D. (2013). Dryfractionation of Coconut Oil using 120 kg-scale Crystallizer to Produce Concentrated Medium Chain Triglycerides. *Jurnal Littri*, 19(1), 41–49.
- Novilla, A., Nursidika, P., & Mahargyani, W. (2017). Komposisi Asam Lemak Minyak Kelapa Murni (Virgin Coconut Oil) yang Berpotensi sebagai Anti Kandidiasis. *EduChemia (Jurnal Kimia Dan Pendidikan)*, 2(2), 161.
- Øvrebø, T. (2019). *Identification and Quantification of Fatty Acids in Nut Oils by GC-MS*. Norges milje-og Biovitenskapelige Universitet.
- Purnaningtyas, S. R. D. (2022). Analysis of free fatty acid levels (as lauric acid) pure coconut oil (virgin coconut oil / VCO) for sale in kediri city. *Strada Journal of Pharmacy*, 4(1), 18–22.
- Rahman, H., Sitompul, J. P., & Tjokrodiningrat, S. (2022). The Composition of Fatty Acids in Several Vegetable Oils from Indonesia. *Biodiversitas*, 23(4), 2167–2176.
- Rizalina, H., Cahyono, E., Mursiti, S., & Nurcahyo, B. (2018). Optimasi Penentuan Kadar Metanol dalam Darah Menggunakan Gas Chromatography. *Indonesian Journal of Chemical Science*, 7(3), 254–261.
- Rohman, A., Irnawati, Erwanto, Y., Lukitaningsih, E., Rafi, M., Fadzilah, N. A., Windarsih, A., Sulaiman, A., & Zakaria, Z. (2021). Virgin Coconut Oil: Extraction, Physicochemical

- Properties, Biological Activities and Its Authentication Analysis. *Food Reviews International*, 37(1), 46–66.
- Roopashree, P. G., Shetty, S. S., & Kumari, N. S. (2021). Effect of Medium Chain Fatty Acid in Human Health and Disease. *Journal of Functional Foods*, 87(December), 104724.
- Rusmalina, S. (2019). Studi Peninjauan Kualitas Minyak Goreng Hasil Pemanasan Berdasarkan pada Bilangan Penyabunan. *Jurnal Kesehatan Pena Medika*, 9(2), 48–54.
- Sabahannur, S., & Alimuddin, S. (2022). Identification of Fatty Acids in Virgin Coconut Oil (VCO), Cocoa Beans, Crude Palm Oil (CPO), and Palm Kernel Beans Using Gas Chromatography. *IOP Conference Series: Earth and Environmental Science*, 1083(1).
- Salendra, A., Alimuddin, A. H., & Rahmalia, W. (2019). Saponifikasi Asam Lemak dari Lumpur Minyak Kelapa Sawit (sludge oil) Menggunakan Basa Abu Sabut Kelapa. *Jurnal Kimia Khatulistiwa*, 10(1), 2685–1229.
- Sharma, N., Verma, M., & Sharma, P. (2021). Influence of Lauric Acid on Mechanical Properties of Portland Cement. *IOP Conference Series: Materials Science and Engineering*, 1116(1), 012153.
- Sigma Aldrich. (2022). Safety Data Sheet. *Merck*, 8(3), 1–8.
- Silalahi, J., Lida Karo Karo, Sinaga, S. M., & Yosy Cinthya Eriwaty Silalahi. (2018). Composition of Fatty Acid and Identification of Lauric Acid Position in Coconut and Palm Kernel Oils. *Indonesian Journal of Pharmaceutical and Clinical Research*, 1(2), 1–8.
- Suirta, I. W., & Astitiasih, I. A. R. (2020). Pembuatan Virgin Coconut Oil dengan Penambahan Enzim Papain dari Ekstrak Ddaun Pepaya (Carica papaya). *Jurnal Kimia*, 14(2), 192.
- Sukeksi, L., Iriany, Grace, M., & Diana, V. (2021). Characterization of the Chemical and Physical Properties of Bar Soap Made with Different Concentrations of Bentonite as a Filler. *International Journal of Technology*, 12(2), 263–274.
- Sukeksi, L., Sidabutar, A. J., & Sitorus, C. (2017). Pembuatan Sabun dengan menggunakan Kulit Buah Kapuk (Ceiba petandra) sebagai Sumber Alkali. *Jurnal Teknik Kimia USU*, 6(3), 8–13.
- Suryani, S., Sariani, S., Earnestly, F., Marganof, M., Rahmawati, R., Sevindrajuta, S., Indra Mahlia, T. M., & Fudholi, A. (2020). A Comparative Study of Virgin Coconut Oil, Coconut Oil and Palm Oil in Terms of Their Active Ingredients. *Processes*, 8(4), 1–11.
- Tan, J., Mckenzie, C., Potamitis, M., Thorburn, A. N., Mackay, C. R., & Macia, L. (2014). The Role of Short-Chain Fatty Acids in Health and Disease. In *Advances in Immunology* (1st ed., Vol. 121, Issue January). Elsevier Inc.
- Untari, B., Miksusanti, & Ainna, A. (2020). Penentuan Kadar Asam Lemak Bebas dan Kandungan Jenis Asam Lemak dalam Minyak yang Dipanaskan dengan Metode Titrasi Asam Basa dan Kromatografi Gas. *Jurnal Ilmiah Bakti Farmasi.*, 1(1), 1–10.
- Wangko, W. S. (2020). Aspek Fisiologik Short Chain Fatty Acid (SCFA). *Medical Scope Journal*, 2(1), 26–35.
- Widiyati, D. W., & Wahyuningtyas, D. (2020). Optimasi Pemanfaatan Minyak Serai (Cyimbopogancitra TES DC) sebagai Zat Antiseptik pada Pembuatan Sabun Lunak Herbal. *Jurnal Inovasi Proses*, 5(1–8).

LAMPIRAN

Lampiran 1a. Hasil Pengujian Rendemen

Perlakuan (j)		Kelompok (i)		Rata-rata
		1	2	
5°C	Fraksinasi I	40 menit	19,45	20,96
		45 menit	35,81	35,81
		50 menit	26,64	26,97
	Fraksinasi II	15 menit	52,84	54,04
		10 menit	27,95	37,77
		5 menit	47,82	46,07
18°C	Fraksinasi I	195 menit	21,62	24,24
		210 menit	40,83	38,32
		225 menit	58,52	52,18
	Fraksinasi II	25 menit	39,52	30,68
		20 menit	38,21	36,90
		15 menit	24,67	31,55

Keterangan : fraksinasi I (fase cair), fraksinasi II (fase padat)

Lampiran 1b. Rataan Antarperlakuan Pengujian Rendemen

– Rataan Interaksi antara Suhu dan Fraksinasi terhadap Nilai Rendemen

Suhu	Fraksinasi		Jumlah
	I	II	
5°C	26,49	45,96	72,45
18°C	38,25	33,04	71,29
Rata-rata	32,37	39,50	

– Rataan Interaksi antara Suhu dan Waktu terhadap Nilai Rendemen

Suhu	Waktu			Rata-rata
	W1	W2	W3	
5°C	35,37	36,79	36,52	36,23
18°C	27,46	37,61	41,87	35,64
Rata-rata	31,41	37,20	39,19	

Ket : W1 (40' & 15' (5°C) / 195' & 25' (18°C)), W2 (45' & 10' (5°C) / 210' & 20' (18°C)), W3 (50' & 5' (5°C) / 225' & 15' (18°C))

– Rataan Interaksi antara Fraksinasi dan Waktu terhadap Nilai Rendemen

Fraksinasi	Waktu			Rata-rata
	W1	W2	W3	
I	20,47	37,06	39,57	32,37
II	39,14	37,34	38,81	38,43
Jumlah	59,61	74,40	78,38	

Ket : W1 (40' & 15' (5°C) / 195' & 25' (18°C)), W2 (45' & 10' (5°C) / 210' & 20' (18°C)), W3 (50' & 5' (5°C) / 225' & 15' (18°C))

Lampiran 1c. Hasil Analisis (ANOVA) Pengaruh Suhu, Fraksinasi, dan Waktu terhadap Nilai Rendemen

SK	DB	JK	KT	F-Hitung	F-Tabel 5%	Keterangan
Perlakuan	11	2677,144	243,3766836	1,930819295	2,82	tn
A	1	305,2319	305,2319114	2,421545298	4,75	tn
B	1	2,034032	2,034031896	0,015574381	4,75	tn
W	2	261,2023	130,6011359	1,036118947	3,89	tn
AB	1	913,0976	913,0975763	7,244023512	4,75	**
BW	2	957,5086	478,7542985	3,798178294	3,89	tn
AW	2	-121,371	-60,6852622	-0,48144413	3,89	tn
ABW	2	359,4397	179,719828	1,425800148	3,89	tn
Galat	12	1512,581	126,0484004			
Total	23					

Keterangan :

** = Berpengaruh Nyata

tn = Tidak Berpengaruh Nyata

Lampiran 1d. Hasil Uji Lanjut Duncan Interaksi Faktor Suhu dan Fase Fraksinasi terhadap Nilai Rendemen

SD	7,938778	7,938778	7,938778
	2	3	4
Nilai Duncan Tabel	3,081	3,225	3,12
Nilai Duncan Hitung	24,45938	25,60256	24,76899

Perlakuan	Rata-rata	Simbol
A1B1	26,49199418	a
A2B2	33,04221252	ab
A2B1	38,24599709	bc
A1B2	45,96069869	c

Lampiran 2a. Hasil Pengujian Bilangan Iod

Perlakuan (j)			Kelompok (i)		Rata-rata
			1	2	
5°C	Fraksinasi I	40 menit	5,14	7,93	6,54
		45 menit	5,46	7,61	6,54
		50 menit	5,27	8,63	6,95
	Fraksinasi II	15 menit	6,03	6,85	6,44
		10 menit	5,65	8,25	6,95
		5 menit	5,90	8,25	7,07
18°C	Fraksinasi I	195 menit	6,60	6,54	6,57
		210 menit	6,41	7,11	6,76
		225 menit	7,36	5,46	6,41
	Fraksinasi II	25 menit	7,55	7,11	7,33
		20 menit	7,36	7,42	7,39
		15 menit	6,73	6,66	6,69

Keterangan : Fraksinasi I (fase cair), Fraksinasi II (fase padat)

Lampiran 2b. Rataan Antarperlakuan Pengujian Bilangan Iod

– Rataan Interaksi antara Suhu dan Fraksinasi terhadap Nilai Bilangan Iod

Suhu	Fraksinasi		Rata-rata
	I	II	
5°C	6,67	6,82	6,75
18°C	6,58	7,14	6,86
Rata-rata	6,63	6,98	

– Rataan Interaksi antara Suhu dan Waktu terhadap Nilai Bilangan Iod

Suhu	Waktu			Rata-rata
	W1	W2	W3	
5°C	6,49	6,74	7,01	6,75
18°C	6,95	7,07	6,55	6,86
Rata-rata	6,72	6,91	6,78	

Ket : W1 (40' & 15' (5°C) / 195' & 25' (18°C)), W2 (45' & 10' (5°C) / 210' & 20' (18°C)), W3 (50' & 5' (5°C) / 225' & 15' (18°C))

– Rataan Interaksi antara Fraksinasi dan Waktu terhadap Nilai Bilangan Iod

Fraksinasi	Waktu			Rata-rata
	C1	C2	C3	
I	6,55	6,65	6,68	6,63
II	6,88	7,17	6,88	6,98
Rata-rata	6,72	6,91	6,78	

Ket : W1 (40' & 15' (5°C) / 195' & 25' (18°C)), W2 (45' & 10' (5°C) / 210' & 20' (18°C)), W3 (50' & 5' (5°C) / 225' & 15' (18°C))

Lampiran 2c. Hasil Analisis (ANOVA) Pengaruh Suhu, Fraksinasi, dan Waktu terhadap Nilai Bilangan Iod

Tests of Between-Subjects Effects					
Dependent Variable:Bilangan Iod					
Source	Type III Sum of Squares	df	Mean Square	F	Sig.
Corrected Model	2.478 ^a	11	0.225	0.132	0.999
Intercept	1110.529	1	1110.529	649.458	0.000
A	0.074	1	0.074	0.043	0.839
B	0.753	1	0.753	0.440	0.519
W	0.150	2	0.075	0.044	0.957
A * B	0.255	1	0.255	0.149	0.706
A * W	0.994	2	0.497	0.291	0.753
B * W	0.102	2	0.051	0.030	0.971
A * B * W	0.149	2	0.075	0.044	0.958
Error	20.519	12	1.710		
Total	1133.525	24			
Corrected Total	22.997	23			

a. R Squared = ,108 (Adjusted R Squared = -.710)

Lampiran 3a. Hasil Pengujian Bilangan Penyabunan

Perlakuan (j)		Kelompok (i)		Rata-rata	
		1	2		
5°C	Fraksinasi I	40 menit	205,89	192,71	199,30
		45 menit	198,03	203,31	200,67
		50 menit	260,87	273,79	267,33
	Fraksinasi II	15 menit	242,35	201,40	221,88
		10 menit	242,50	207,59	225,05
		5 menit	261,43	273,93	267,68
18°C	Fraksinasi I	195 menit	219,14	256,77	237,95
		210 menit	234,30	213,69	224,00
		225 menit	221,84	203,06	212,45
	Fraksinasi II	25 menit	211,20	232,41	221,81
		20 menit	171,82	243,98	207,90
		15 menit	216,35	201,96	209,16

Keterangan : fraksinasi I (fase cair), fraksinasi II (fase padat)

Lampiran 3b. Rataan Antarperlakuan Pengujian Bilangan Penyabunan

– Rataan Interaksi antara Suhu dan Fraksinasi terhadap Nilai Bilangan Penyabunan

Suhu	Fraksinasi		Rata-rata
	I	II	
5°C	222,43	238,20	230,32
18°C	224,80	212,96	218,88
Rata-rata	223,62	225,58	

– Rataan Interaksi antara Suhu dan Waktu terhadap Nilai Bilangan Penyabunan

Suhu	Waktu			Rata-rata
	W1	W2	W3	
5°C	210,59	212,86	267,50	230,32
18°C	229,88	215,95	210,80	218,88
Rata-rata	220,23	214,40	239,15	

Ket : C1 (40' & 15' (5°C) / 195' & 25' (18°C)), C2 (45' & 10' (5°C) / 210' & 20' (18°C)), C3 (50' & 5' (5°C) / 225' & 15' (18°C))

– Rataan Interaksi antara Fraksinasi dan Waktu terhadap Nilai Bilangan Penyabunan

Fraksinasi	Waktu			Rata-rata
	W1	W2	W3	
I	218,62	212,33	239,89	223,62
II	221,84	216,47	238,42	225,58
Rata-rata	220,23	214,40	239,15	

Ket : W1 (40' & 15' (5°C) / 195' & 25' (18°C)), W2 (45' & 10' (5°C) / 210' & 20' (18°C)), W3 (50' & 5' (5°C) / 225' & 15' (18°C))

Lampiran 3c. Hasil Analisis (ANOVA) Pengaruh Suhu, Fraksinasi, dan Waktu terhadap Nilai Rendemen

Tests of Between-Subjects Effects					
Dependent Variable:Penyabunan					
Source	Type III Sum of Squares	df	Mean Square	F	Sig.
Corrected Model	11506.537 ^a	11	1046.049	2.187	0.097
Intercept	1210649.701	1	1210649.701	2.531E3	0.000
A	785.029	1	785.029	1.641	0.224
B	23.079	1	23.079	0.048	0.830
W	2678.831	2	1339.415	2.801	0.100
A * B	1143.692	1	1143.692	2.391	0.148
A * W	6407.898	2	3203.949	6.699	0.011
B * W	36.270	2	18.135	0.038	0.963
A * B * W	431.739	2	215.870	0.451	0.647
Error	5739.316	12	478.276		
Total	1227895.554	24			
Corrected Total	17245.853	23			

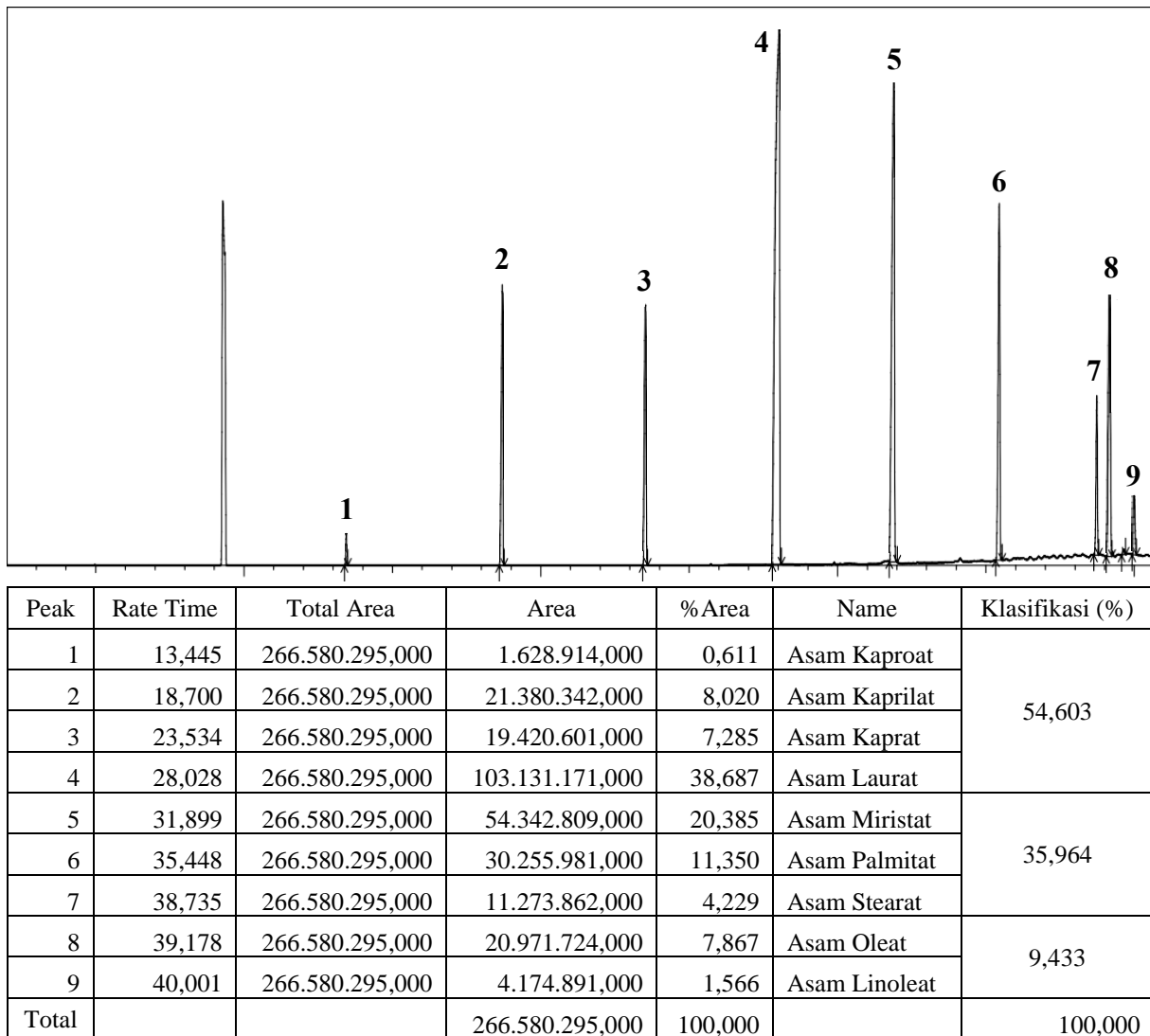
a. R Squared = ,667 (Adjusted R Squared = ,362)

Lampiran 3d. Hasil Uji Lanjut Duncan Interaksi Faktor Suhu dan Waktu terhadap Nilai Bilangan Penyabunan

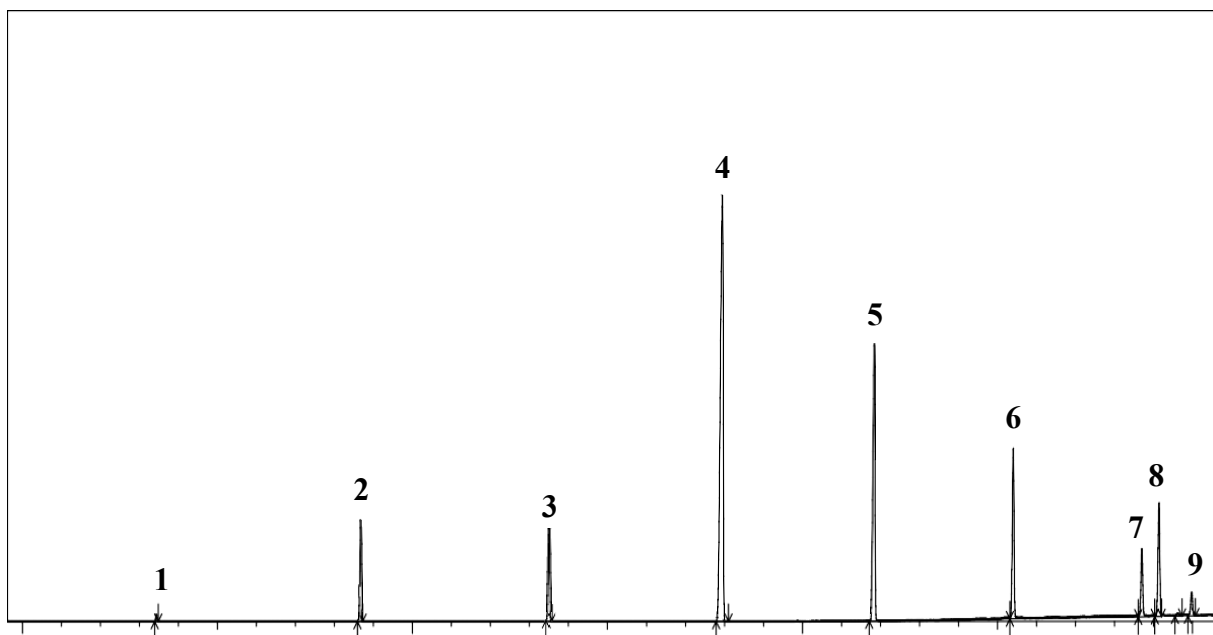
SD	16,93493	16,93493	16,9349307	16,93493	16,93493
	2	3	4	5	6
Nilai Duncan Tabel	3,081	3,225	3,12	3,37	3,41
Nilai Duncan Hitung	52,17652	54,61515	52,83698378	57,07072	57,74811

Perlakuan	Rata-rata	Simbol
A1W1	210,58593	a
A2W3	210,80491	a
A1W2	212,85935	a
A2W2	215,94782	a
A2W1	229,88007	ab
A1W3	267,5029	b

Lampiran 4a. Hasil Analisis Komposisi Asam Lemak Kontrol

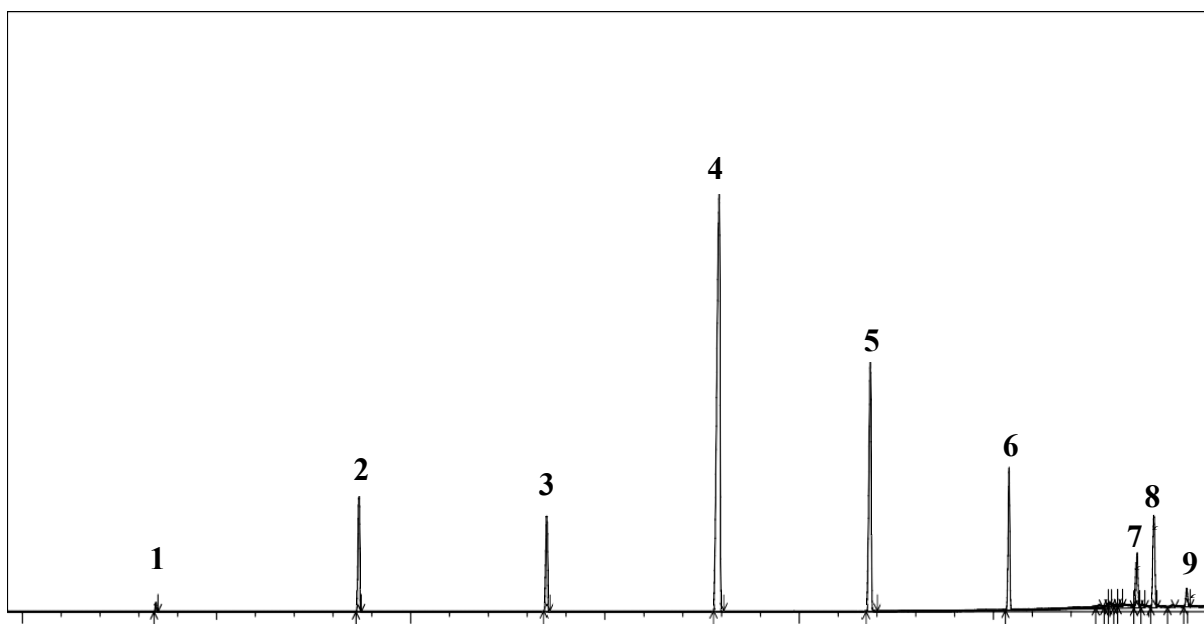


Lampiran 4b. Hasil Analisis Komposisi Asam Lemak Fraksi 1 (Fase Padat hasil Fraksinasi I)



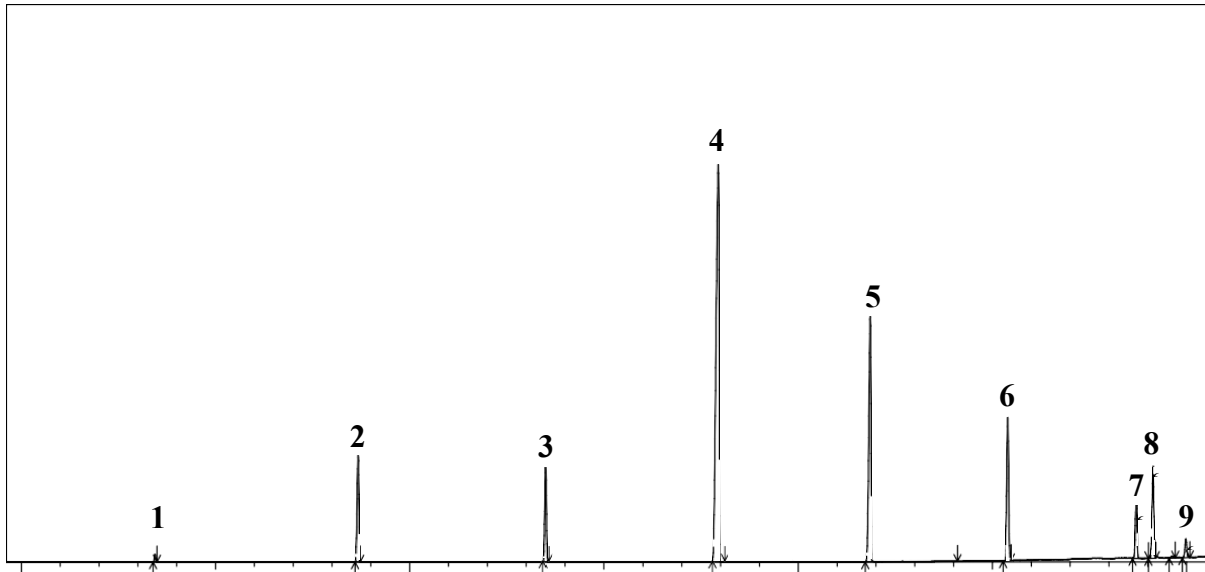
Peak	Rate Time	Total Area	Area	%Area	Name	Klasifikasi (%)
1	13.432	93.194.095,000	329.167,000	0,353	Asam Kaproat	53,785
2	18.658	93.194.095,000	5.284.323,000	5,670	Asam Kaprilat	
3	23.497	93.194.095,000	4.898.703,000	5,256	Asam Kaprat	
4	27.932	93.194.095,000	39.612.055,000	42,505	Asam Laurat	
5	31.843	93.194.095,000	17.613.004,000	18,899	Asam Miristat	36,434
6	35.408	93.194.095,000	11.748.437,000	12,606	Asam Palmitat	
7	38.705	93.194.095,000	4.593.229,000	4,929	Asam Stearat	
8	39.143	93.194.095,000	7.406.981,000	7,948	Asam Oleat	9,781
10	39.983	93.194.095,000	1.708.196,000	1,833	Asam Linoleat	
Total			93.194.095,000	100,000		100,000

Lampiran 4c. Hasil Analisis Komposisi Asam Lemak Fraksi 2 (Fase Padat hasil Fraksinasi II)



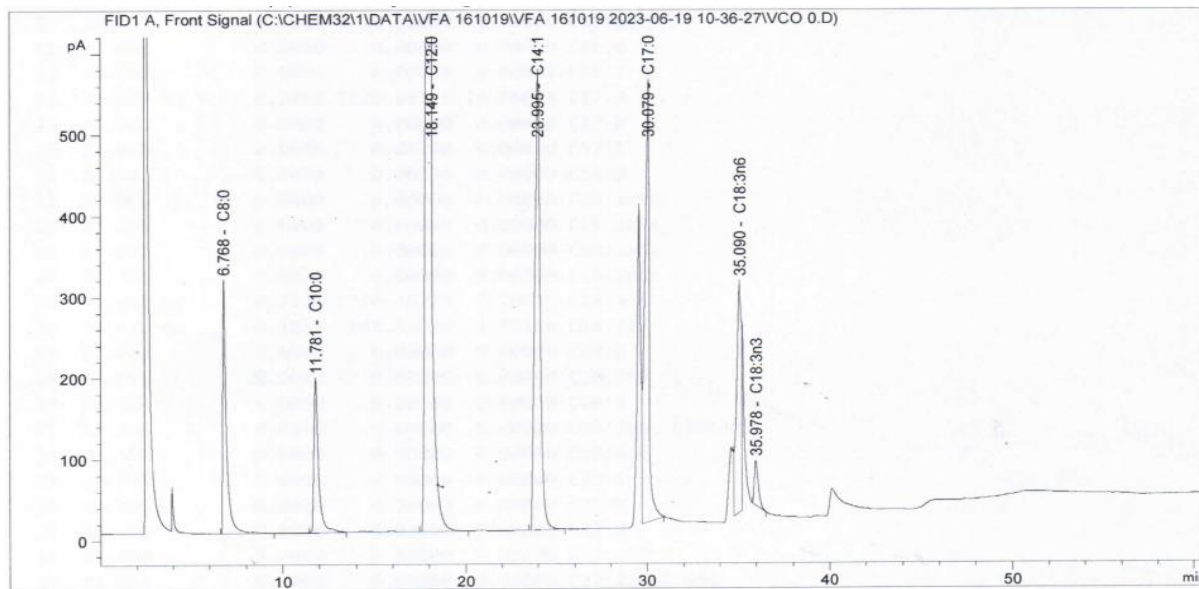
Peak	Rate Time	Total Area	Area	% Area	Name	Klasifikasi (%)
1	13.435	89.346.993	437746	0,490	Asam Kaproat	56,481
2	18.663	89.346.993	6188807	6,927	Asam Kaprilat	
3	23.498	89.346.993	5222210	5,845	Asam Kaprat	
4	27.934	89.346.993	38615363	43,220	Asam Laurat	
5	31.839	89.346.993	16649235	18,634	Asam Miristat	35,269
6	35.405	89.346.993	11283371	12,629	Asam Palmitat	
7	38.704	89.346.993	3578995	4,006	Asam Stearat	
8	39.141	89.346.993	6056941	6,779	Asam Oleat	8,250
9	39.980	89.346.993	1314325	1,471	Asam Linoleat	
Total			89.346.993,000	100,000		100,000

Lampiran 4d. Hasil Analisis Komposisi Asam Lemak Fraksi 3 (Fase cair hasil Fraksinasi I)



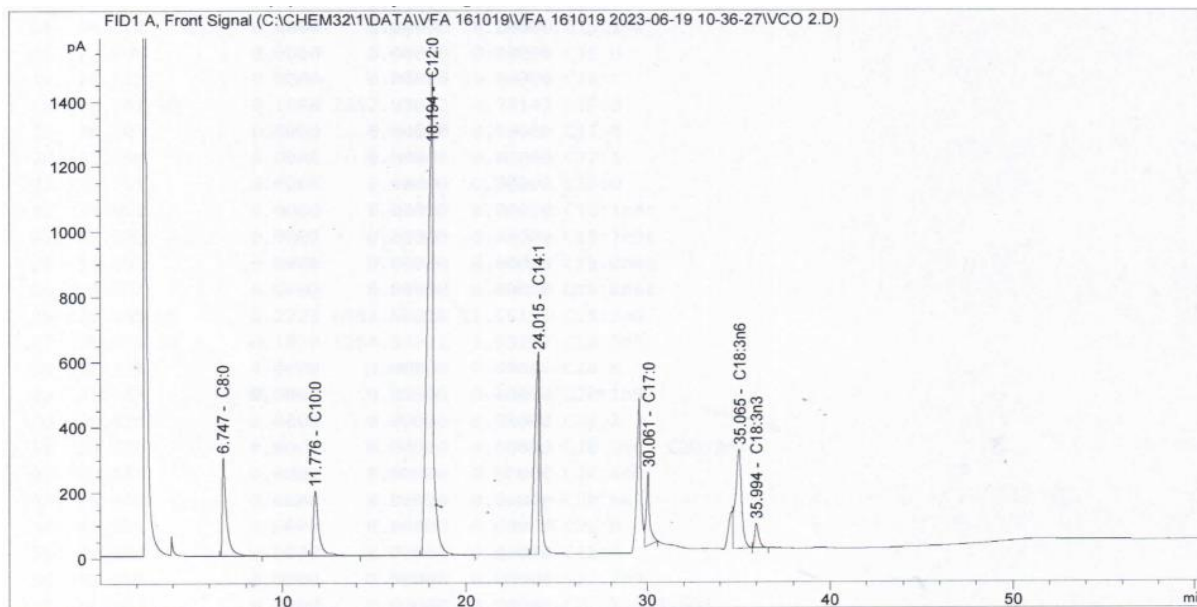
Peak	Rate Time	Total Area	Area	%Area	Name	Klasifikasi (%)
1	13.436	91.749.806,000	399332	0,435	Asam Kaproat	57,648
2	18.664	91.749.806,000	6096278	6,644	Asam Kaprilat	
3	23.500	91.749.806,000	5383674	5,868	Asam Kaprat	
4	27.938	91.749.806,000	41012815	44,701	Asam Laurat	
5	31.843	91.749.806,000	17918620	19,530	Asam Miristat	33,701
6	35.407	91.749.806,000	9379009	10,222	Asam Palmitat	
7	38.707	91.749.806,000	3622654	3,948	Asam Stearat	
8	39.144	91.749.806,000	6498346	7,083	Asam Oleat	8,651
10	39.987	91.749.806,000	1439078	1,568	Asam Linoleat	
Total			91.749.806,000	100,000		100,000

Lampiran 5a. Hasil Analisis Kadar Asam Lemak Kontrol



Peak	Rate Time	A Sampel	A Standar	Konsentrasi Relatif (%)	Konsentrasi (ppm)	Nama
1	13,445	0,000	0,000	0,000	0,000	Asam Kaproat
2	18,700	4416,71	100,050	7,240	176,580	Asam Kaprilat
3	23,534	3.316,060	97,290	5,440	136,332	Asam Kaprat
4	28,028	26.280,700	96,940	43,090	1.084,411	Asam Laurat
5	31,899	11.694,100	47,680	19,170	490,524	Asam Miristat
6	35,448	9.129,000	53,300	14,970	342,552	Asam Palmitat
7	38,735	0,000	0,000	0,000	0,000	Asam Stearat
8	39,178	5.310,360	44,120	8,710	240,724	Asam Oleat
9	40,001	848,560	36,900	1,390	45,992	Asam Linoleat

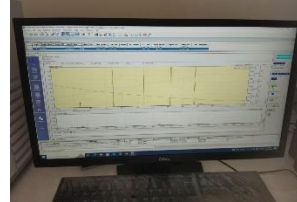
Lampiran 5a. Hasil Analisis Kadar Asam Lemak Hasil Fraksinasi



Peak	Rate Time	A Sampel	A Standar	Konsentrasi Relatif (%)	Konsentrasi (ppm)	Nama
1	13,445	0,000	0,000	0,000	0,000	Asam Kaproat
2	18,700	4996,330	100,050	8,240	198,674	Asam Kaprilat
3	23,534	31.774,600	97,290	6,610	163,741	Asam Kaprat
4	28,028	8.564,760	96,940	52,710	1.311,104	Asam Laurat
5	31,899	8.564,760	47,680	14,210	359,260	Asam Miristat
6	35,448	2.857,980	53,300	4,740	107,241	Asam Palmitat
7	38,735	0,000	0,000	0,000	0,000	Asam Stearat
8	39,178	6.962,660	44,120	11,550	315,624	Asam Oleat
9	40,001	1.164,890	36,900	1,930	63,138	Asam Linoleat

Lampiran 6a. Dokumentasi Kegiatan Penelitian

Kegiatan	Dokumentasi		
Fraksinasi			
	Pengaturan suhu ruang fraksinasi sesuai perlakuan	Penimbangan sampel	Pembekuan sampel sesuai perlakuan
Analisis Kadar Asam Lemak Bebas			
	Penimbangan sampel sebanyak 10g	Pemanasan sampel selama 10 menit	Titrasi dilakukan hingga warna larutan berubah menjadi merah muda
Analisis Kadar Air			
	Penimbangan Awal	Pengeringan	Penimbangan Akhir

Analisis Bilangan Iod			
	Pembuatan Reagen	Penambahan Indikator Pati	Dititrasi hingga larutan kembali bening
Analisis Bilangan Penyabunan			
	Penambahan KOH dalam alkohol	Pemanasan dalam erlemeyer yang dihubungkan dengan kondensor	Dititrasi hingga warna larutan berubah dari merah muda menjadi bening
Analisis Komposisi Asam Lemak			
	Esterifikasi sampel	Sampel yang telah melalui proses esterifikasi dimasukkan vial	Pembacaan komposisi asam lemak menggunakan GCMS